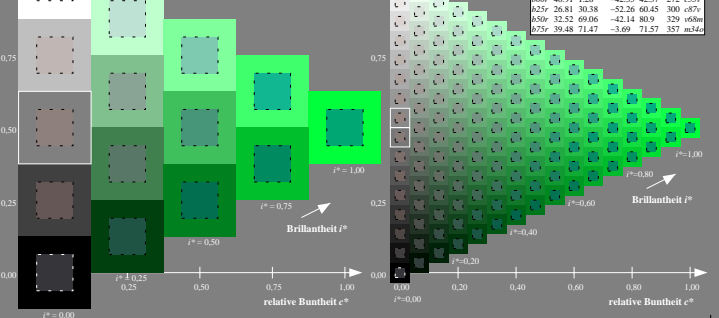
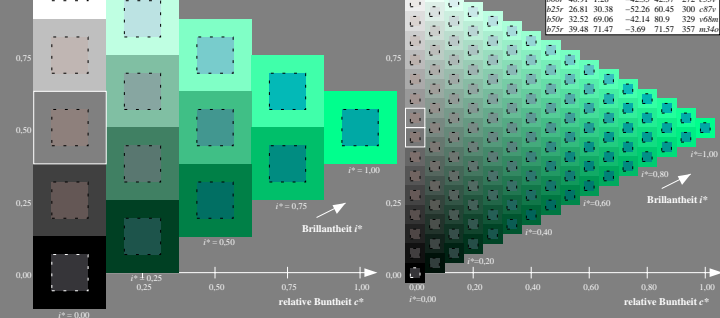


Ein und Ausgabe: Farbmetrisches Drucker-Reflaktiv-System FRS12_95a für relatives CIELAB-Buntton $h^* = lab^*h^* = h_{30}/360 = 0.451$ $u^*_c = g00b$
 Daten für jede Farbe:
 Lab*ich* und Lab*icu*
 Bunttonstexte:
 $u^*_c = g00b$ $u^*_g = 122a$
 Kontrastreduzierungsfaktor:
 $c_R = 1.0$
 Dreiecks-Helligkeit h^*



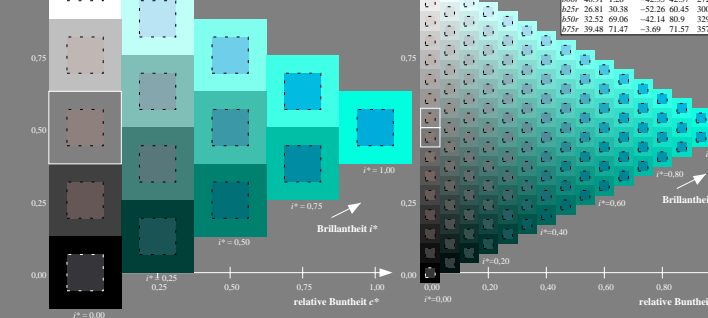
FRS12_95a; adaptierte CIELAB-Daten
 L^* a^* b^* C_{90} M_{90} u^*_c u^*_g
 Lab*/LAB*/%: 51 -49 16
 Lab*/LCH*/%: 51 52 162
 Lab*/rgb*/%: 0.0 1.0 0.0
 Lab*/ab*/%: 0.0 1.0 0.23
 Dreiecks-Helligkeit h^*
 %Umfang
 $u^*_c = 109$
 %Regularität
 $h^*_{c=1} = 40$
 %Reproduzierbarkeit
 $h^*_{c=1} = 40$

Ein und Ausgabe: Farbmetrisches Drucker-Reflaktiv-System FRS12_95a für relatives CIELAB-Buntton $h^* = lab^*h^* = h_{30}/360 = 0.527$ $u^*_c = g25b$
 Daten für jede Farbe:
 Lab*ich* und Lab*icu*
 Bunttonstexte:
 $u^*_c = g25b$ $u^*_g = 155c$
 Kontrastreduzierungsfaktor:
 $c_R = 1.0$
 Dreiecks-Helligkeit h^*



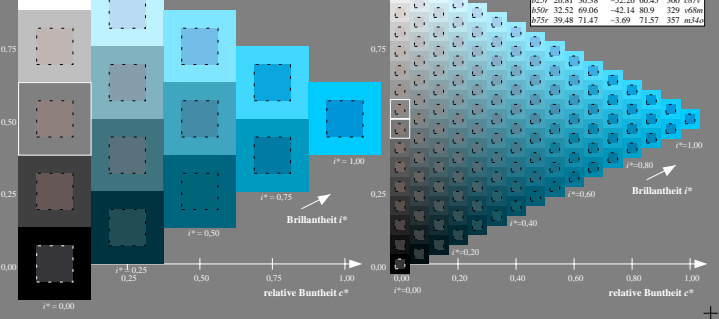
FRS12_95a; adaptierte CIELAB-Daten
 L^* a^* b^* C_{90} M_{90} u^*_c u^*_g
 Lab*/LAB*/%: 53 -40 17
 Lab*/LCH*/%: 53 40 189
 Lab*/rgb*/%: 0.0 1.0 0.5
 Lab*/ab*/%: 0.0 1.0 0.55
 Dreiecks-Helligkeit h^*
 %Umfang
 $u^*_c = 109$
 %Regularität
 $h^*_{c=1} = 40$
 %Reproduzierbarkeit
 $h^*_{c=1} = 40$

Ein und Ausgabe: Farbmetrisches Drucker-Reflaktiv-System FRS12_95a für relatives CIELAB-Buntton $h^* = lab^*h^* = h_{30}/360 = 0.603$ $u^*_c = g50b$
 Daten für jede Farbe:
 Lab*ich* und Lab*icu*
 Bunttonstexte:
 $u^*_c = g50b$ $u^*_g = 187f$
 Kontrastreduzierungsfaktor:
 $c_R = 1.0$
 Dreiecks-Helligkeit h^*



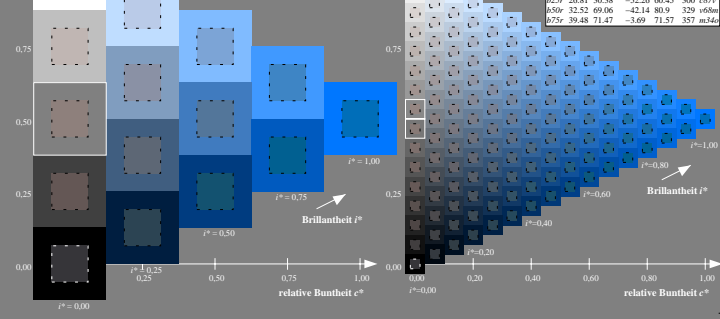
FRS12_95a; adaptierte CIELAB-Daten
 L^* a^* b^* C_{90} M_{90} u^*_c u^*_g
 Lab*/LAB*/%: 55 -32 24
 Lab*/LCH*/%: 55 40 216
 Lab*/rgb*/%: 0.0 1.0 0.87
 Lab*/ab*/%: 0.0 1.0 0.87
 Dreiecks-Helligkeit h^*
 %Umfang
 $u^*_c = 109$
 %Regularität
 $h^*_{c=1} = 31$
 %Reproduzierbarkeit
 $h^*_{c=1} = 40$

Ein und Ausgabe: Farbmetrisches Drucker-Reflaktiv-System FRS12_95a für relatives CIELAB-Buntton $h^* = lab^*h^* = h_{30}/360 = 0.679$ $u^*_c = g75b$
 Daten für jede Farbe:
 Lab*ich* und Lab*icu*
 Bunttonstexte:
 $u^*_c = g75b$ $u^*_g = 20v$
 Kontrastreduzierungsfaktor:
 $c_R = 1.0$
 Dreiecks-Helligkeit h^*



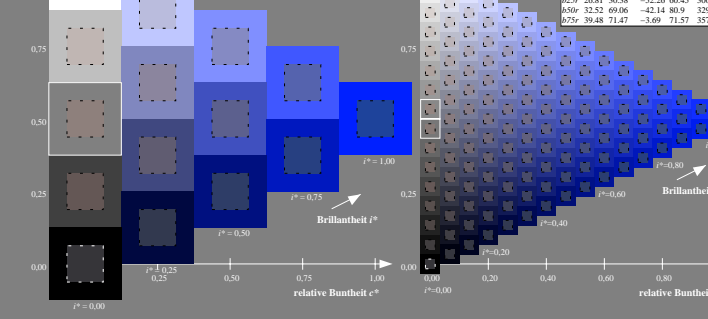
FRS12_95a; adaptierte CIELAB-Daten
 L^* a^* b^* C_{90} M_{90} u^*_c u^*_g
 Lab*/LAB*/%: 50 -17 -36
 Lab*/LCH*/%: 50 40 244
 Lab*/rgb*/%: 0.0 0.5 1.0
 Lab*/ab*/%: 0.0 0.8 1.0
 Dreiecks-Helligkeit h^*
 %Umfang
 $u^*_c = 109$
 %Regularität
 $h^*_{c=1} = 31$
 %Reproduzierbarkeit
 $h^*_{c=1} = 40$

Ein und Ausgabe: Farbmetrisches Drucker-Reflaktiv-System FRS12_95a für relatives CIELAB-Buntton $h^* = lab^*h^* = h_{30}/360 = 0.755$ $u^*_c = b00r$
 Daten für jede Farbe:
 Lab*ich* und Lab*icu*
 Bunttonstexte:
 $u^*_c = b00r$ $u^*_g = c53v$
 Kontrastreduzierungsfaktor:
 $c_R = 1.0$
 Dreiecks-Helligkeit h^*



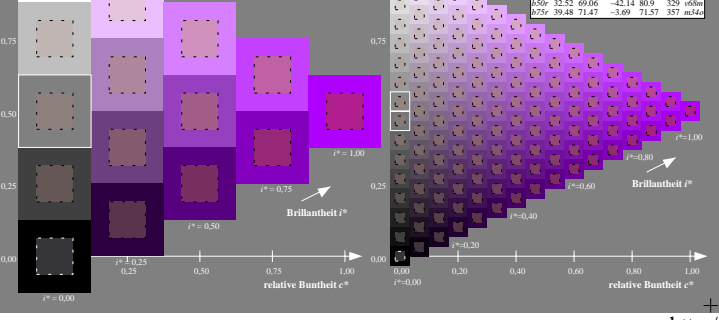
FRS12_95a; adaptierte CIELAB-Daten
 L^* a^* b^* C_{90} M_{90} u^*_c u^*_g
 Lab*/LAB*/%: 41 -42 271
 Lab*/LCH*/%: 41 42 271
 Lab*/rgb*/%: 0.0 0.0 1.0
 Lab*/ab*/%: 0.0 0.47 1.0
 Dreiecks-Helligkeit h^*
 %Umfang
 $u^*_c = 109$
 %Regularität
 $h^*_{c=1} = 31$
 %Reproduzierbarkeit
 $h^*_{c=1} = 40$

Ein und Ausgabe: Farbmetrisches Drucker-Reflaktiv-System FRS12_95a für relatives CIELAB-Buntton $h^* = lab^*h^* = h_{30}/360 = 0.834$ $u^*_c = b25r$
 Daten für jede Farbe:
 Lab*ich* und Lab*icu*
 Bunttonstexte:
 $u^*_c = b25r$ $u^*_g = c87v$
 Kontrastreduzierungsfaktor:
 $c_R = 1.0$
 Dreiecks-Helligkeit h^*



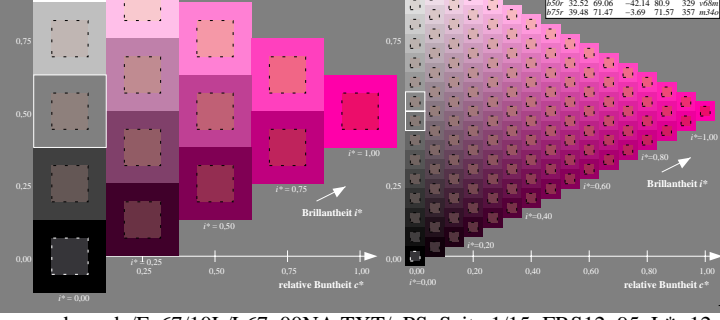
FRS12_95a; adaptierte CIELAB-Daten
 L^* a^* b^* C_{90} M_{90} u^*_c u^*_g
 Lab*/LAB*/%: 27 30 -52
 Lab*/LCH*/%: 27 30 300
 Lab*/rgb*/%: 0.5 0.0 1.0
 Lab*/ab*/%: 0.0 1.2 1.0
 Dreiecks-Helligkeit h^*
 %Umfang
 $u^*_c = 109$
 %Regularität
 $h^*_{c=1} = 31$
 %Reproduzierbarkeit
 $h^*_{c=1} = 40$

Ein und Ausgabe: Farbmetrisches Drucker-Reflaktiv-System FRS12_95a für relatives CIELAB-Buntton $h^* = lab^*h^* = h_{30}/360 = 0.913$ $u^*_c = b50r$
 Daten für jede Farbe:
 Lab*ich* und Lab*icu*
 Bunttonstexte:
 $u^*_c = b50r$ $u^*_g = 168m$
 Kontrastreduzierungsfaktor:
 $c_R = 1.0$
 Dreiecks-Helligkeit h^*

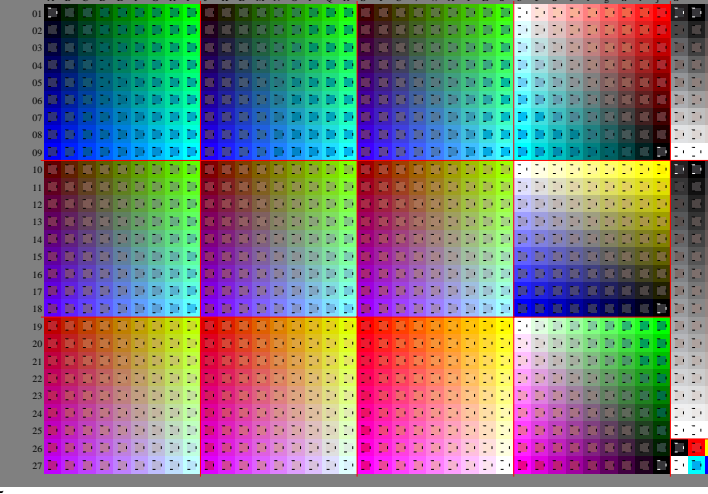


FRS12_95a; adaptierte CIELAB-Daten
 L^* a^* b^* C_{90} M_{90} u^*_c u^*_g
 Lab*/LAB*/%: 33 69 -42
 Lab*/LCH*/%: 33 81 328
 Lab*/rgb*/%: 1.0 0.0 1.0
 Lab*/ab*/%: 0.69 0.0 1.0
 Dreiecks-Helligkeit h^*
 %Umfang
 $u^*_c = 109$
 %Regularität
 $h^*_{c=1} = 31$
 %Reproduzierbarkeit
 $h^*_{c=1} = 40$

Ein und Ausgabe: Farbmetrisches Drucker-Reflaktiv-System FRS12_95a für relatives CIELAB-Buntton $h^* = lab^*h^* = h_{30}/360 = 0.992$ $u^*_c = b75r$
 Daten für jede Farbe:
 Lab*ich* und Lab*icu*
 Bunttonstexte:
 $u^*_c = b75r$ $u^*_g = 203d$
 Kontrastreduzierungsfaktor:
 $c_R = 1.0$
 Dreiecks-Helligkeit h^*

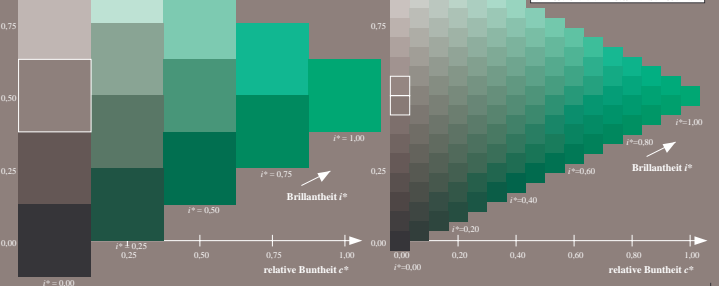


FRS12_95a; adaptierte CIELAB-Daten
 L^* a^* b^* C_{90} M_{90} u^*_c u^*_g
 Lab*/LAB*/%: 39 71 -4
 Lab*/LCH*/%: 39 72 357
 Lab*/rgb*/%: 1.0 0.0 0.66
 Lab*/ab*/%: 1.0 0.0 0.66
 Dreiecks-Helligkeit h^*
 %Umfang
 $u^*_c = 109$
 %Regularität
 $h^*_{c=1} = 40$
 %Reproduzierbarkeit
 $h^*_{c=1} = 40$

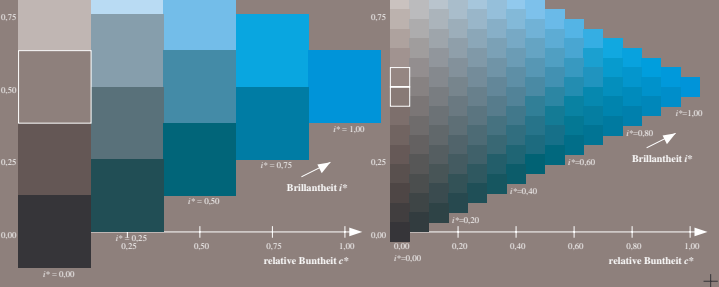


FRS12_95a; adaptierte CIELAB-Daten
 L^* a^* b^* C_{90} M_{90} u^*_c u^*_g
 Lab*/LAB*/%: 39 71 -4
 Lab*/LCH*/%: 39 72 357
 Lab*/rgb*/%: 1.0 0.0 0.66
 Lab*/ab*/%: 1.0 0.0 0.66
 Dreiecks-Helligkeit h^*
 %Umfang
 $u^*_c = 109$
 %Regularität
 $h^*_{c=1} = 40$
 %Reproduzierbarkeit
 $h^*_{c=1} = 40$

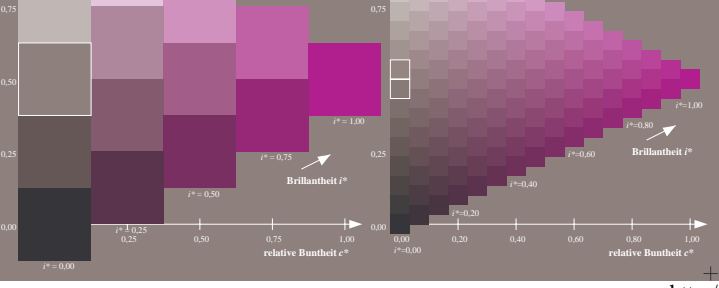
Ein und Ausgabe: Farbmetrisches Drucker-Reflaktiv-System FRS12_95a für relatives CIELAB-Buntton $h^* = Lab^*h^* = h_{ab}/360 = 0.451$ $u^* = g=00b$
 Daten für jede Farbe:
 Lab^*ch^* und Lab^*cu^*
 Bunttonstexte:
 $u^* = g=00b$ $u^*_g = 12z$
 Kontrastreduzierungsfaktor:
 $c_R = 1.0$
 Dreiecks-Helligkeit l^*
 %Umfang $u^*_{11} = 109$
 %Regulartität $g^*_{11} = 31$
 $g^*_{11,rel} = 40$



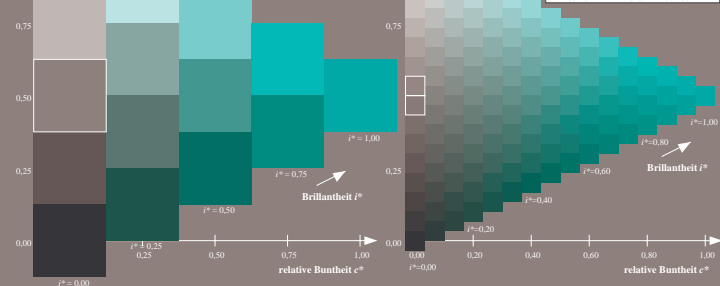
Ein und Ausgabe: Farbmetrisches Drucker-Reflaktiv-System FRS12_95a für relatives CIELAB-Buntton $h^* = Lab^*h^* = h_{ab}/360 = 0.679$ $u^* = g=25b$
 Daten für jede Farbe:
 Lab^*ch^* und Lab^*cu^*
 Bunttonstexte:
 $u^* = g=25b$ $u^*_g = c20v$
 Kontrastreduzierungsfaktor:
 $c_R = 1.0$
 Dreiecks-Helligkeit l^*
 %Umfang $u^*_{11} = 109$
 %Regulartität $g^*_{11} = 31$
 $g^*_{11,rel} = 40$



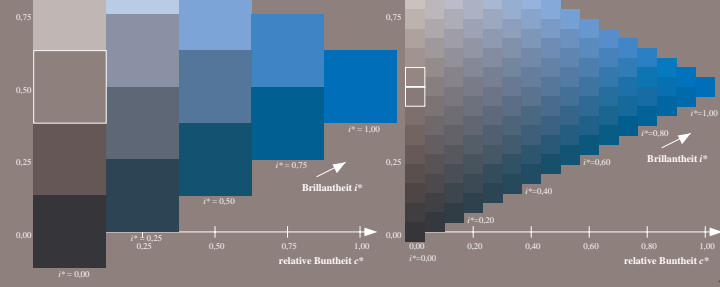
Ein und Ausgabe: Farbmetrisches Drucker-Reflaktiv-System FRS12_95a für relatives CIELAB-Buntton $h^* = Lab^*h^* = h_{ab}/360 = 0.913$ $u^* = g=b50v$
 Daten für jede Farbe:
 Lab^*ch^* und Lab^*cu^*
 Bunttonstexte:
 $u^* = g=b50v$ $u^*_g = b68m$
 Kontrastreduzierungsfaktor:
 $c_R = 1.0$
 Dreiecks-Helligkeit l^*
 %Umfang $u^*_{11} = 109$
 %Regulartität $g^*_{11} = 31$
 $g^*_{11,rel} = 40$



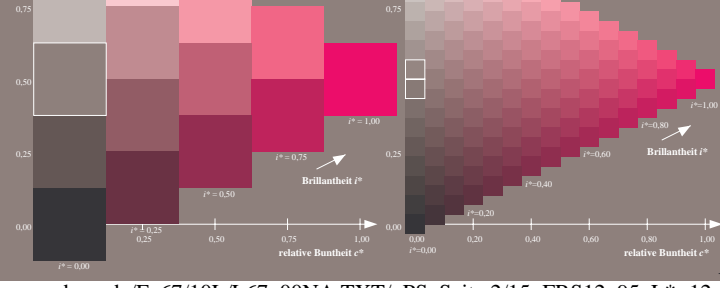
Ein und Ausgabe: Farbmetrisches Drucker-Reflaktiv-System FRS12_95a für relatives CIELAB-Buntton $h^* = Lab^*h^* = h_{ab}/360 = 0.527$ $u^* = g=25b$
 Daten für jede Farbe:
 Lab^*ch^* und Lab^*cu^*
 Bunttonstexte:
 $u^* = g=25b$ $u^*_g = 155c$
 Kontrastreduzierungsfaktor:
 $c_R = 1.0$
 Dreiecks-Helligkeit l^*
 %Umfang $u^*_{11} = 109$
 %Regulartität $g^*_{11} = 31$
 $g^*_{11,rel} = 40$



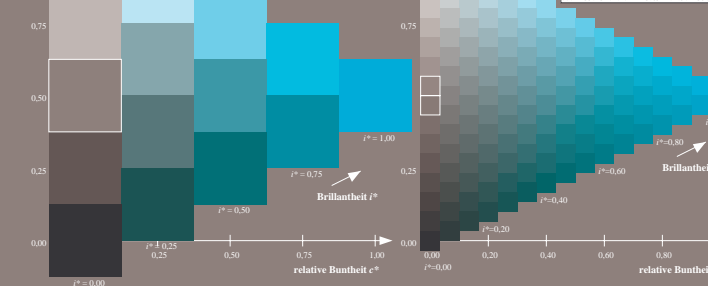
Ein und Ausgabe: Farbmetrisches Drucker-Reflaktiv-System FRS12_95a für relatives CIELAB-Buntton $h^* = Lab^*h^* = h_{ab}/360 = 0.755$ $u^* = g=b00v$
 Daten für jede Farbe:
 Lab^*ch^* und Lab^*cu^*
 Bunttonstexte:
 $u^* = b00v$ $u^*_g = c53v$
 Kontrastreduzierungsfaktor:
 $c_R = 1.0$
 Dreiecks-Helligkeit l^*
 %Umfang $u^*_{11} = 109$
 %Regulartität $g^*_{11} = 31$
 $g^*_{11,rel} = 40$



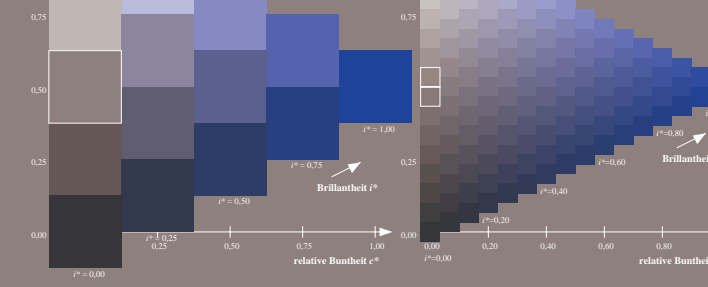
Ein und Ausgabe: Farbmetrisches Drucker-Reflaktiv-System FRS12_95a für relatives CIELAB-Buntton $h^* = Lab^*h^* = h_{ab}/360 = 0.992$ $u^* = g=b75v$
 Daten für jede Farbe:
 Lab^*ch^* und Lab^*cu^*
 Bunttonstexte:
 $u^* = g=b75v$ $u^*_g = m34o$
 Kontrastreduzierungsfaktor:
 $c_R = 1.0$
 Dreiecks-Helligkeit l^*
 %Umfang $u^*_{11} = 109$
 %Regulartität $g^*_{11} = 31$
 $g^*_{11,rel} = 40$



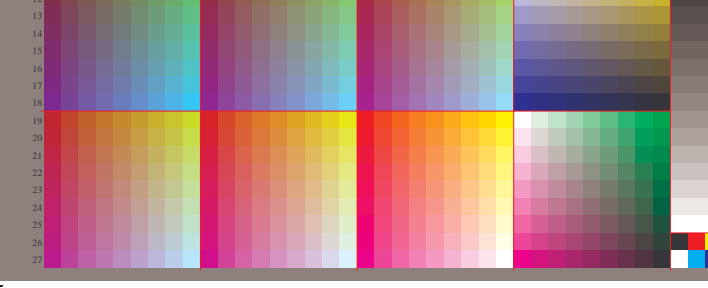
Ein und Ausgabe: Farbmetrisches Drucker-Reflaktiv-System FRS12_95a für relatives CIELAB-Buntton $h^* = Lab^*h^* = h_{ab}/360 = 0.603$ $u^* = g=25b$
 Daten für jede Farbe:
 Lab^*ch^* und Lab^*cu^*
 Bunttonstexte:
 $u^* = g=25b$ $u^*_g = b77v$
 Kontrastreduzierungsfaktor:
 $c_R = 1.0$
 Dreiecks-Helligkeit l^*
 %Umfang $u^*_{11} = 109$
 %Regulartität $g^*_{11} = 31$
 $g^*_{11,rel} = 40$



Ein und Ausgabe: Farbmetrisches Drucker-Reflaktiv-System FRS12_95a für relatives CIELAB-Buntton $h^* = Lab^*h^* = h_{ab}/360 = 0.834$ $u^* = g=25v$
 Daten für jede Farbe:
 Lab^*ch^* und Lab^*cu^*
 Bunttonstexte:
 $u^* = g=25v$ $u^*_g = c87v$
 Kontrastreduzierungsfaktor:
 $c_R = 1.0$
 Dreiecks-Helligkeit l^*
 %Umfang $u^*_{11} = 109$
 %Regulartität $g^*_{11} = 31$
 $g^*_{11,rel} = 40$

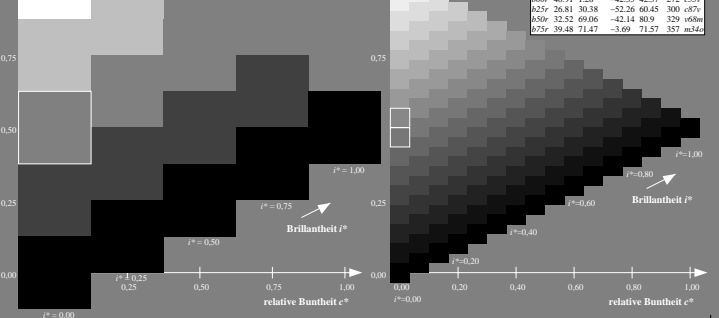


Ein und Ausgabe: Farbmetrisches Drucker-Reflaktiv-System FRS12_95a für relatives CIELAB-Buntton $h^* = Lab^*h^* = h_{ab}/360 = 0.922$ $u^* = g=b75v$
 Daten für jede Farbe:
 Lab^*ch^* und Lab^*cu^*
 Bunttonstexte:
 $u^* = g=b75v$ $u^*_g = m34o$
 Kontrastreduzierungsfaktor:
 $c_R = 1.0$
 Dreiecks-Helligkeit l^*
 %Umfang $u^*_{11} = 109$
 %Regulartität $g^*_{11} = 31$
 $g^*_{11,rel} = 40$



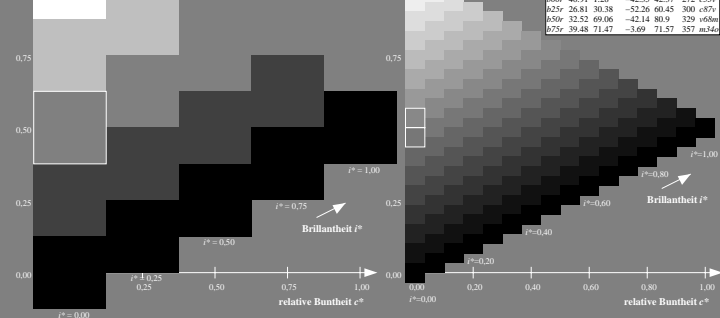
Ein und Ausgabe: Farbmetrisches Drucker-Reflaktiv-System FRS12_95a für relatives CIELAB-Buntton $h^* = lab^*h^* = h_{30}/360 = 0.451$ $u^* = g=600b$
 Daten für jede Farbe:
 lab^*ch^* und lab^*cu^*
 Bunttonstexte:
 lab^*ch^* und lab^*cu^*
 $u^* = g=600b$ $u^*g = 122a$
 Kontrastreduzierungsfaktor:
 $c_R = 1.0$
 Dreiecks-Helligkeit h^*

L^*	a^*	b^*	C_{90}	h_{90}	u^*	v^*
38.06	60.0	44.0	74.4	36	39.92	58.74
86.77	-5.17	109.32	109.44	93	47.13	-62.67
47.13	-62.67	48.24	79.09	142	55.66	-29.14
17.15	50.3	-59.04	77.57	310	40.37	78.64
11.58	0.0	0.0	0.0	0	0.0	0.0
95.02	0.0	0.0	0.0	0	0.0	0.0
39.92	58.74	27.99	65.07	25	81.26	-2.89
71.56	71.62	92	110	154	52.23	-42.42
30.57	1.41	-46.47	46.49	272	30.57	1.41



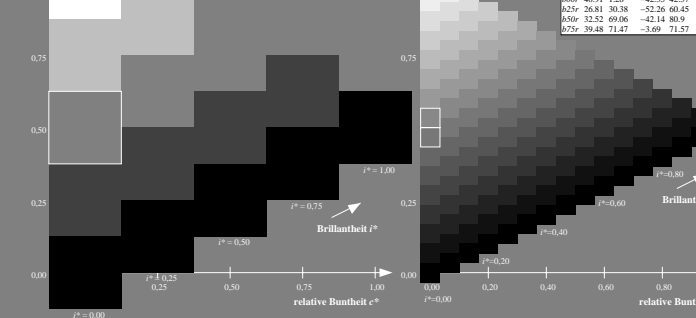
Ein und Ausgabe: Farbmetrisches Drucker-Reflaktiv-System FRS12_95a für relatives CIELAB-Buntton $h^* = lab^*h^* = h_{30}/360 = 0.527$ $u^* = g=250b$
 Daten für jede Farbe:
 lab^*ch^* und lab^*cu^*
 Bunttonstexte:
 lab^*ch^* und lab^*cu^*
 $u^* = g=250b$ $u^*g = 155c$
 Kontrastreduzierungsfaktor:
 $c_R = 1.0$
 Dreiecks-Helligkeit h^*

L^*	a^*	b^*	C_{90}	h_{90}	u^*	v^*
38.06	60.0	44.0	74.4	36	39.92	58.74
86.77	-5.17	109.32	109.44	93	47.13	-62.67
47.13	-62.67	48.24	79.09	142	55.66	-29.14
17.15	50.3	-59.04	77.57	310	40.37	78.64
11.58	0.0	0.0	0.0	0	0.0	0.0
95.02	0.0	0.0	0.0	0	0.0	0.0
39.92	58.74	27.99	65.07	25	81.26	-2.89
71.56	71.62	92	110	154	52.23	-42.42
30.57	1.41	-46.47	46.49	272	30.57	1.41



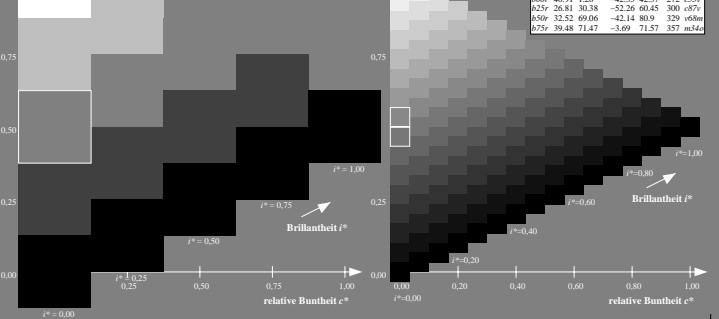
Ein und Ausgabe: Farbmetrisches Drucker-Reflaktiv-System FRS12_95a für relatives CIELAB-Buntton $h^* = lab^*h^* = h_{30}/360 = 0.603$ $u^* = g=250b$
 Daten für jede Farbe:
 lab^*ch^* und lab^*cu^*
 Bunttonstexte:
 lab^*ch^* und lab^*cu^*
 $u^* = g=250b$ $u^*g = 155c$
 Kontrastreduzierungsfaktor:
 $c_R = 1.0$
 Dreiecks-Helligkeit h^*

L^*	a^*	b^*	C_{90}	h_{90}	u^*	v^*
38.06	60.0	44.0	74.4	36	39.92	58.74
86.77	-5.17	109.32	109.44	93	47.13	-62.67
47.13	-62.67	48.24	79.09	142	55.66	-29.14
17.15	50.3	-59.04	77.57	310	40.37	78.64
11.58	0.0	0.0	0.0	0	0.0	0.0
95.02	0.0	0.0	0.0	0	0.0	0.0
39.92	58.74	27.99	65.07	25	81.26	-2.89
71.56	71.62	92	110	154	52.23	-42.42
30.57	1.41	-46.47	46.49	272	30.57	1.41



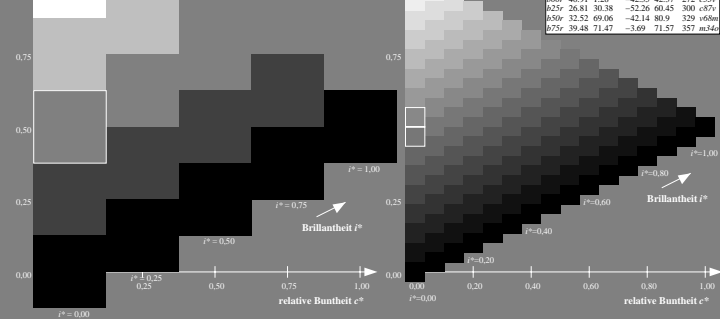
Ein und Ausgabe: Farbmetrisches Drucker-Reflaktiv-System FRS12_95a für relatives CIELAB-Buntton $h^* = lab^*h^* = h_{30}/360 = 0.679$ $u^* = g=250b$
 Daten für jede Farbe:
 lab^*ch^* und lab^*cu^*
 Bunttonstexte:
 lab^*ch^* und lab^*cu^*
 $u^* = g=250b$ $u^*g = c20v$
 Kontrastreduzierungsfaktor:
 $c_R = 1.0$
 Dreiecks-Helligkeit h^*

L^*	a^*	b^*	C_{90}	h_{90}	u^*	v^*
38.06	60.0	44.0	74.4	36	39.92	58.74
86.77	-5.17	109.32	109.44	93	47.13	-62.67
47.13	-62.67	48.24	79.09	142	55.66	-29.14
17.15	50.3	-59.04	77.57	310	40.37	78.64
11.58	0.0	0.0	0.0	0	0.0	0.0
95.02	0.0	0.0	0.0	0	0.0	0.0
39.92	58.74	27.99	65.07	25	81.26	-2.89
71.56	71.62	92	110	154	52.23	-42.42
30.57	1.41	-46.47	46.49	272	30.57	1.41



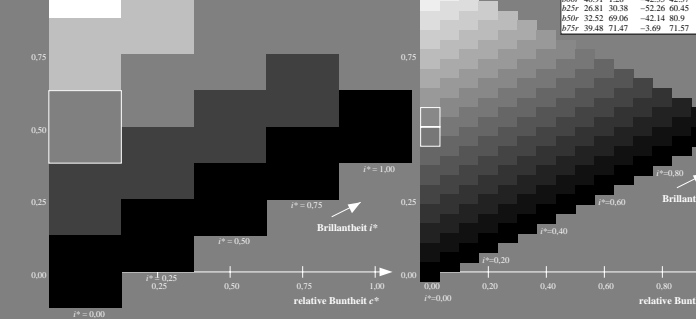
Ein und Ausgabe: Farbmetrisches Drucker-Reflaktiv-System FRS12_95a für relatives CIELAB-Buntton $h^* = lab^*h^* = h_{30}/360 = 0.755$ $u^* = g=200b$
 Daten für jede Farbe:
 lab^*ch^* und lab^*cu^*
 Bunttonstexte:
 lab^*ch^* und lab^*cu^*
 $u^* = g=200b$ $u^*g = c53v$
 Kontrastreduzierungsfaktor:
 $c_R = 1.0$
 Dreiecks-Helligkeit h^*

L^*	a^*	b^*	C_{90}	h_{90}	u^*	v^*
38.06	60.0	44.0	74.4	36	39.92	58.74
86.77	-5.17	109.32	109.44	93	47.13	-62.67
47.13	-62.67	48.24	79.09	142	55.66	-29.14
17.15	50.3	-59.04	77.57	310	40.37	78.64
11.58	0.0	0.0	0.0	0	0.0	0.0
95.02	0.0	0.0	0.0	0	0.0	0.0
39.92	58.74	27.99	65.07	25	81.26	-2.89
71.56	71.62	92	110	154	52.23	-42.42
30.57	1.41	-46.47	46.49	272	30.57	1.41



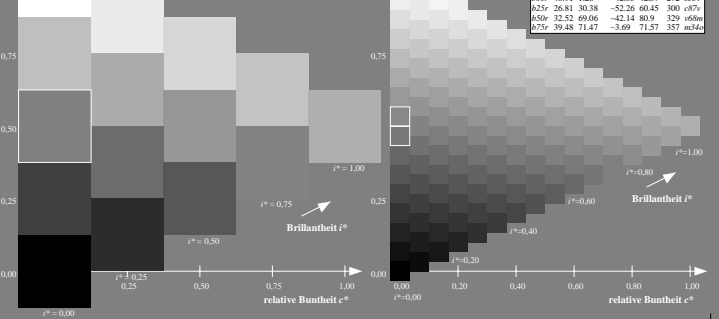
Ein und Ausgabe: Farbmetrisches Drucker-Reflaktiv-System FRS12_95a für relatives CIELAB-Buntton $h^* = lab^*h^* = h_{30}/360 = 0.834$ $u^* = g=200b$
 Daten für jede Farbe:
 lab^*ch^* und lab^*cu^*
 Bunttonstexte:
 lab^*ch^* und lab^*cu^*
 $u^* = g=200b$ $u^*g = c87v$
 Kontrastreduzierungsfaktor:
 $c_R = 1.0$
 Dreiecks-Helligkeit h^*

L^*	a^*	b^*	C_{90}	h_{90}	u^*	v^*
38.06	60.0	44.0	74.4	36	39.92	58.74
86.77	-5.17	109.32	109.44	93	47.13	-62.67
47.13	-62.67	48.24	79.09	142	55.66	-29.14
17.15	50.3	-59.04	77.57	310	40.37	78.64
11.58	0.0	0.0	0.0	0	0.0	0.0
95.02	0.0	0.0	0.0	0	0.0	0.0
39.92	58.74	27.99	65.07	25	81.26	-2.89
71.56	71.62	92	110	154	52.23	-42.42
30.57	1.41	-46.47	46.49	272	30.57	1.41



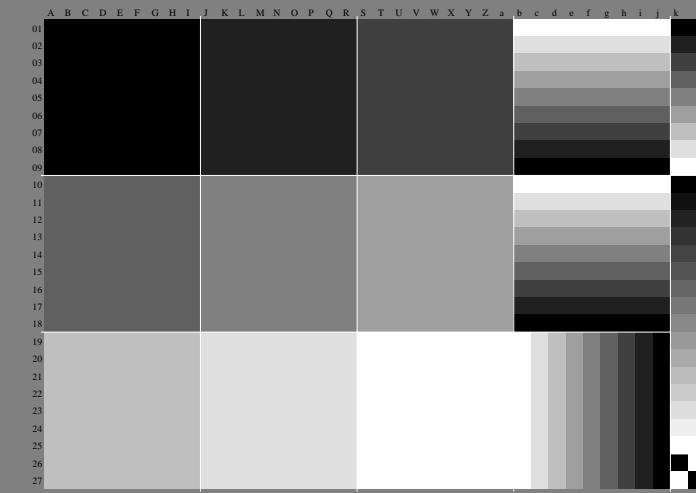
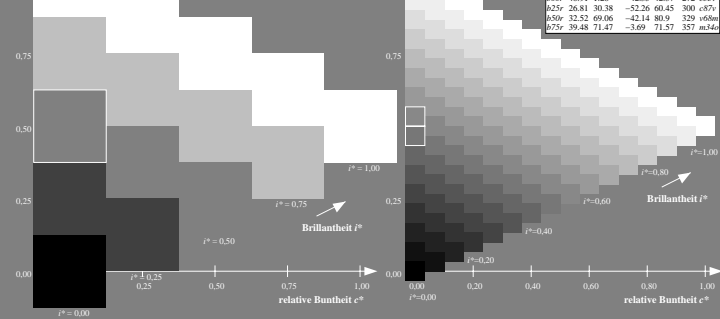
Ein und Ausgabe: Farbmetrisches Drucker-Reflaktiv-System FRS12_95a für relatives CIELAB-Buntton $h^* = lab^*h^* = h_{30}/360 = 0.913$ $u^* = g=150b$
 Daten für jede Farbe:
 lab^*ch^* und lab^*cu^*
 Bunttonstexte:
 lab^*ch^* und lab^*cu^*
 $u^* = g=150b$ $u^*g = 166m$
 Kontrastreduzierungsfaktor:
 $c_R = 1.0$
 Dreiecks-Helligkeit h^*

L^*	a^*	b^*	C_{90}	h_{90}	u^*	v^*
38.06	60.0	44.0	74.4	36	39.92	58.74
86.77	-5.17	109.32	109.44	93	47.13	-62.67
47.13	-62.67	48.24	79.09	142	55.66	-29.14
17.15	50.3	-59.04	77.57	310	40.37	78.64
11.58	0.0	0.0	0.0	0	0.0	0.0
95.02	0.0	0.0	0.0	0	0.0	0.0
39.92	58.74	27.99	65.07	25	81.26	-2.89
71.56	71.62	92	110	154	52.23	-42.42
30.57	1.41	-46.47	46.49	272	30.57	1.41



Ein und Ausgabe: Farbmetrisches Drucker-Reflaktiv-System FRS12_95a für relatives CIELAB-Buntton $h^* = lab^*h^* = h_{30}/360 = 0.992$ $u^* = g=150b$
 Daten für jede Farbe:
 lab^*ch^* und lab^*cu^*
 Bunttonstexte:
 lab^*ch^* und lab^*cu^*
 $u^* = g=150b$ $u^*g = m34o$
 Kontrastreduzierungsfaktor:
 $c_R = 1.0$
 Dreiecks-Helligkeit h^*

L^*	a^*	b^*	C_{90}	h_{90}	u^*	v^*
38.06	60.0	44.0	74.4	36	39.92	58.74
86.77	-5.17	109.32	109.44	93	47.13	-62.67
47.13	-62.67	48.24	79.09	142	55.66	-29.14
17.15	50.3	-59.04	77.57	310	40.37	78.64
11.58	0.0	0.0	0.0	0	0.0	0.0
95.02	0.0	0.0	0.0	0	0.0	0.0
39.92	58.74	27.99	65.07	25	81.26	-2.89
71.56	71.62	92	110	154	52.23	-42.42
30.57	1.41	-46.47	46.49	272	30.57	1.41



Ein und Ausgabe: Farbmetrisches Drucker-Reflaktiv-System FRS12_95a für relatives CIELAB-Buntton $h^* = lab^*h^* = h_{30}/360 = 0.451$ $u^*_c = g00b$

Daten für jede Farbe:
 lab^*ch^* und lab^*cu^*
 Bunttonstexte:
 $u^*_c = g00b$ $u^*_g = 12z$
 Kontrastreduzierungsfaktor:
 $c_R = 1.0$
 Dreiecks-Helligkeit l^*

FRS12_95a; adaptierte CIELAB-Daten
 L^* a^* b^* C_{ab}^* h_{ab}^* u^*_c u^*_g
 Lab*/LAB*/M1a: 41.0 74.4 36
 Lab*/LCH*/M1a: 51 52 162
 Lab*/rgb*/M1a: 0.0 1.0 0.0
 Yaa: 86.77 -5.17 109.32 109.44 93
 Yaa: 47.13 -62.67 48.24 79.09 142
 Yaa: 55.66 -29.14 -31.99 43.27 228
 Yaa: 17.15 50.3 -59.04 77.57 310
 Maa: 40.37 78.64 -33.5 85.48 337
 Maa: 11.58 0.0 0.0 0.0 0
 Maa: 95.02 0.0 0.0 0.0 0
 Raa: 39.92 58.74 27.99 65.07 25
 Raa: 81.26 -2.89 71.56 71.62 92
 Raa: 52.23 -42.42 13.6 44.55 162
 Raa: 30.57 1.41 -46.47 46.49 272

Dreiecks-Helligkeit l^*
 %Umfang $u^*_c = 109$
 %Regulartität $u^*_g = 155$
 $g^*_{reg} = 31$
 $g^*_{reg} = 40$

Ein und Ausgabe: Farbmetrisches Drucker-Reflaktiv-System FRS12_95a für relatives CIELAB-Buntton $h^* = lab^*h^* = h_{30}/360 = 0.527$ $u^*_c = g25b$

Daten für jede Farbe:
 lab^*ch^* und lab^*cu^*
 Bunttonstexte:
 $u^*_c = g25b$ $u^*_g = 155$
 Kontrastreduzierungsfaktor:
 $c_R = 1.0$
 Dreiecks-Helligkeit l^*

FRS12_95a; adaptierte CIELAB-Daten
 L^* a^* b^* C_{ab}^* h_{ab}^* u^*_c u^*_g
 Lab*/LAB*/M1a: 53 40 189
 Lab*/LCH*/M1a: 53 40 189
 Lab*/rgb*/M1a: 0.0 1.0 0.5
 Yaa: 86.77 -5.17 109.32 109.44 93
 Yaa: 47.13 -62.67 48.24 79.09 142
 Yaa: 55.66 -29.14 -31.99 43.27 228
 Yaa: 17.15 50.3 -59.04 77.57 310
 Maa: 40.37 78.64 -33.5 85.48 337
 Maa: 11.58 0.0 0.0 0.0 0
 Maa: 95.02 0.0 0.0 0.0 0
 Raa: 39.92 58.74 27.99 65.07 25
 Raa: 81.26 -2.89 71.56 71.62 92
 Raa: 52.23 -42.42 13.6 44.55 162
 Raa: 30.57 1.41 -46.47 46.49 272

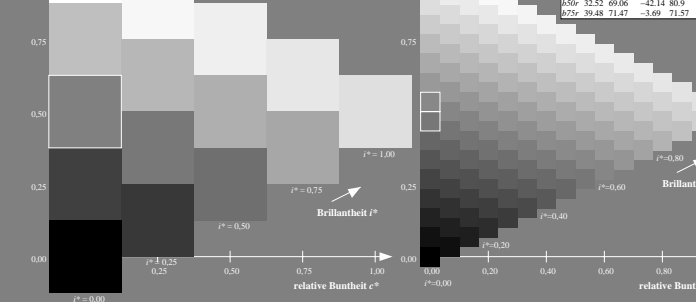
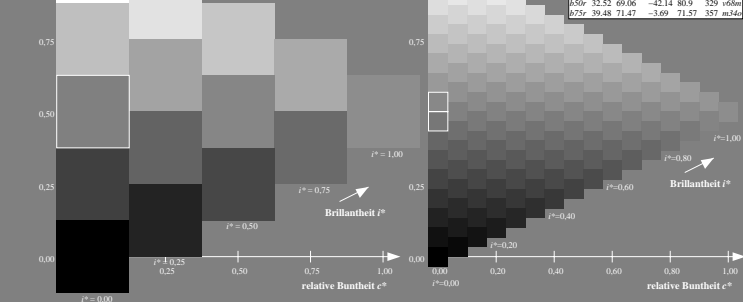
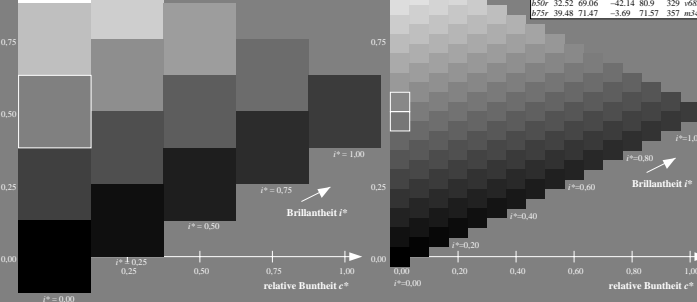
Dreiecks-Helligkeit l^*
 %Umfang $u^*_c = 109$
 %Regulartität $u^*_g = 155$
 $g^*_{reg} = 31$
 $g^*_{reg} = 40$

Ein und Ausgabe: Farbmetrisches Drucker-Reflaktiv-System FRS12_95a für relatives CIELAB-Buntton $h^* = lab^*h^* = h_{30}/360 = 0.603$ $u^*_c = g50b$

Daten für jede Farbe:
 lab^*ch^* und lab^*cu^*
 Bunttonstexte:
 $u^*_c = g50b$ $u^*_g = 187z$
 Kontrastreduzierungsfaktor:
 $c_R = 1.0$
 Dreiecks-Helligkeit l^*

FRS12_95a; adaptierte CIELAB-Daten
 L^* a^* b^* C_{ab}^* h_{ab}^* u^*_c u^*_g
 Lab*/LAB*/M1a: 55 32 216
 Lab*/LCH*/M1a: 55 40 216
 Lab*/rgb*/M1a: 0.0 1.0 0.87
 Yaa: 86.77 -5.17 109.32 109.44 93
 Yaa: 47.13 -62.67 48.24 79.09 142
 Yaa: 55.66 -29.14 -31.99 43.27 228
 Yaa: 17.15 50.3 -59.04 77.57 310
 Maa: 40.37 78.64 -33.5 85.48 337
 Maa: 11.58 0.0 0.0 0.0 0
 Maa: 95.02 0.0 0.0 0.0 0
 Raa: 39.92 58.74 27.99 65.07 25
 Raa: 81.26 -2.89 71.56 71.62 92
 Raa: 52.23 -42.42 13.6 44.55 162
 Raa: 30.57 1.41 -46.47 46.49 272

Dreiecks-Helligkeit l^*
 %Umfang $u^*_c = 109$
 %Regulartität $u^*_g = 187z$
 $g^*_{reg} = 31$
 $g^*_{reg} = 40$



Ein und Ausgabe: Farbmetrisches Drucker-Reflaktiv-System FRS12_95a für relatives CIELAB-Buntton $h^* = lab^*h^* = h_{30}/360 = 0.679$ $u^*_c = g75b$

Daten für jede Farbe:
 lab^*ch^* und lab^*cu^*
 Bunttonstexte:
 $u^*_c = g75b$ $u^*_g = c20v$
 Kontrastreduzierungsfaktor:
 $c_R = 1.0$
 Dreiecks-Helligkeit l^*

FRS12_95a; adaptierte CIELAB-Daten
 L^* a^* b^* C_{ab}^* h_{ab}^* u^*_c u^*_g
 Lab*/LAB*/M1a: 50 17 36
 Lab*/LCH*/M1a: 50 40 244
 Lab*/rgb*/M1a: 0.0 0.8 1.0
 Yaa: 86.77 -5.17 109.32 109.44 93
 Yaa: 47.13 -62.67 48.24 79.09 142
 Yaa: 55.66 -29.14 -31.99 43.27 228
 Yaa: 17.15 50.3 -59.04 77.57 310
 Maa: 40.37 78.64 -33.5 85.48 337
 Maa: 11.58 0.0 0.0 0.0 0
 Maa: 95.02 0.0 0.0 0.0 0
 Raa: 39.92 58.74 27.99 65.07 25
 Raa: 81.26 -2.89 71.56 71.62 92
 Raa: 52.23 -42.42 13.6 44.55 162
 Raa: 30.57 1.41 -46.47 46.49 272

Dreiecks-Helligkeit l^*
 %Umfang $u^*_c = 109$
 %Regulartität $u^*_g = c20v$
 $g^*_{reg} = 31$
 $g^*_{reg} = 40$

Ein und Ausgabe: Farbmetrisches Drucker-Reflaktiv-System FRS12_95a für relatives CIELAB-Buntton $h^* = lab^*h^* = h_{30}/360 = 0.755$ $u^*_c = b00r$

Daten für jede Farbe:
 lab^*ch^* und lab^*cu^*
 Bunttonstexte:
 $u^*_c = b00r$ $u^*_g = c53v$
 Kontrastreduzierungsfaktor:
 $c_R = 1.0$
 Dreiecks-Helligkeit l^*

FRS12_95a; adaptierte CIELAB-Daten
 L^* a^* b^* C_{ab}^* h_{ab}^* u^*_c u^*_g
 Lab*/LAB*/M1a: 41 12 271
 Lab*/LCH*/M1a: 41 12 271
 Lab*/rgb*/M1a: 0.0 0.47 1.0
 Yaa: 86.77 -5.17 109.32 109.44 93
 Yaa: 47.13 -62.67 48.24 79.09 142
 Yaa: 55.66 -29.14 -31.99 43.27 228
 Yaa: 17.15 50.3 -59.04 77.57 310
 Maa: 40.37 78.64 -33.5 85.48 337
 Maa: 11.58 0.0 0.0 0.0 0
 Maa: 95.02 0.0 0.0 0.0 0
 Raa: 39.92 58.74 27.99 65.07 25
 Raa: 81.26 -2.89 71.56 71.62 92
 Raa: 52.23 -42.42 13.6 44.55 162
 Raa: 30.57 1.41 -46.47 46.49 272

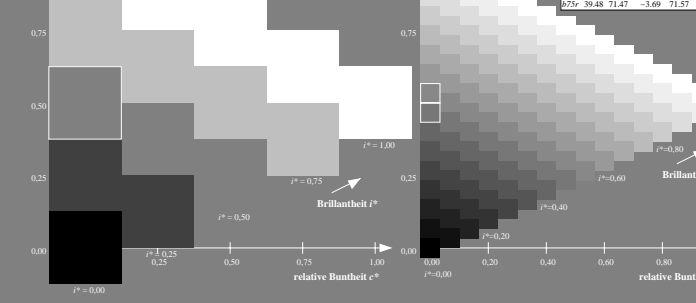
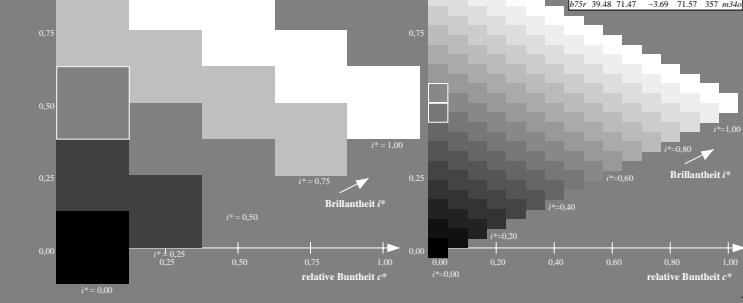
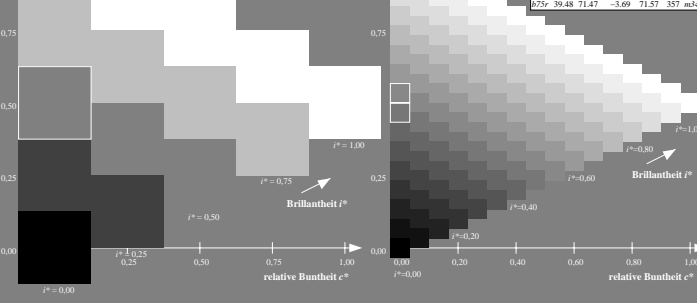
Dreiecks-Helligkeit l^*
 %Umfang $u^*_c = 109$
 %Regulartität $u^*_g = c53v$
 $g^*_{reg} = 31$
 $g^*_{reg} = 40$

Ein und Ausgabe: Farbmetrisches Drucker-Reflaktiv-System FRS12_95a für relatives CIELAB-Buntton $h^* = lab^*h^* = h_{30}/360 = 0.834$ $u^*_c = b25r$

Daten für jede Farbe:
 lab^*ch^* und lab^*cu^*
 Bunttonstexte:
 $u^*_c = b25r$ $u^*_g = c87v$
 Kontrastreduzierungsfaktor:
 $c_R = 1.0$
 Dreiecks-Helligkeit l^*

FRS12_95a; adaptierte CIELAB-Daten
 L^* a^* b^* C_{ab}^* h_{ab}^* u^*_c u^*_g
 Lab*/LAB*/M1a: 27 30 52
 Lab*/LCH*/M1a: 27 60 300
 Lab*/rgb*/M1a: 0.5 0.0 1.0
 Yaa: 86.77 -5.17 109.32 109.44 93
 Yaa: 47.13 -62.67 48.24 79.09 142
 Yaa: 55.66 -29.14 -31.99 43.27 228
 Yaa: 17.15 50.3 -59.04 77.57 310
 Maa: 40.37 78.64 -33.5 85.48 337
 Maa: 11.58 0.0 0.0 0.0 0
 Maa: 95.02 0.0 0.0 0.0 0
 Raa: 39.92 58.74 27.99 65.07 25
 Raa: 81.26 -2.89 71.56 71.62 92
 Raa: 52.23 -42.42 13.6 44.55 162
 Raa: 30.57 1.41 -46.47 46.49 272

Dreiecks-Helligkeit l^*
 %Umfang $u^*_c = 109$
 %Regulartität $u^*_g = c87v$
 $g^*_{reg} = 31$
 $g^*_{reg} = 40$



Ein und Ausgabe: Farbmetrisches Drucker-Reflaktiv-System FRS12_95a für relatives CIELAB-Buntton $h^* = lab^*h^* = h_{30}/360 = 0.913$ $u^*_c = b50r$

Daten für jede Farbe:
 lab^*ch^* und lab^*cu^*
 Bunttonstexte:
 $u^*_c = b50r$ $u^*_g = b68m$
 Kontrastreduzierungsfaktor:
 $c_R = 1.0$
 Dreiecks-Helligkeit l^*

FRS12_95a; adaptierte CIELAB-Daten
 L^* a^* b^* C_{ab}^* h_{ab}^* u^*_c u^*_g
 Lab*/LAB*/M1a: 33 69 42
 Lab*/LCH*/M1a: 33 81 328
 Lab*/rgb*/M1a: 1.0 0.0 1.0
 Yaa: 86.77 -5.17 109.32 109.44 93
 Yaa: 47.13 -62.67 48.24 79.09 142
 Yaa: 55.66 -29.14 -31.99 43.27 228
 Yaa: 17.15 50.3 -59.04 77.57 310
 Maa: 40.37 78.64 -33.5 85.48 337
 Maa: 11.58 0.0 0.0 0.0 0
 Maa: 95.02 0.0 0.0 0.0 0
 Raa: 39.92 58.74 27.99 65.07 25
 Raa: 81.26 -2.89 71.56 71.62 92
 Raa: 52.23 -42.42 13.6 44.55 162
 Raa: 30.57 1.41 -46.47 46.49 272

Dreiecks-Helligkeit l^*
 %Umfang $u^*_c = 109$
 %Regulartität $u^*_g = b68m$
 $g^*_{reg} = 31$
 $g^*_{reg} = 40$

Ein und Ausgabe: Farbmetrisches Drucker-Reflaktiv-System FRS12_95a für relatives CIELAB-Buntton $h^* = lab^*h^* = h_{30}/360 = 0.992$ $u^*_c = b75r$

Daten für jede Farbe:
 lab^*ch^* und lab^*cu^*
 Bunttonstexte:
 $u^*_c = b75r$ $u^*_g = m34d$
 Kontrastreduzierungsfaktor:
 $c_R = 1.0$
 Dreiecks-Helligkeit l^*

FRS12_95a; adaptierte CIELAB-Daten
 L^* a^* b^* C_{ab}^* h_{ab}^* u^*_c u^*_g
 Lab*/LAB*/M1a: 39 71 4 42
 Lab*/LCH*/M1a: 39 71 4 42
 Lab*/rgb*/M1a: 1.0 0.0 0.66
 Yaa: 86.77 -5.17 109.32 109.44 93
 Yaa: 47.13 -62.67 48.24 79.09 142
 Yaa: 55.66 -29.14 -31.99 43.27 228
 Yaa: 17.15 50.3 -59.04 77.57 310
 Maa: 40.37 78.64 -33.5 85.48 337
 Maa: 11.58 0.0 0.0 0.0 0
 Maa: 95.02 0.0 0.0 0.0 0
 Raa: 39.92 58.74 27.99 65.07 25
 Raa: 81.26 -2.89 71.56 71.62 92
 Raa: 52.23 -42.42 13.6 44.55 162
 Raa: 30.57 1.41 -46.47 46.49 272

Dreiecks-Helligkeit l^*
 %Umfang $u^*_c = 109$
 %Regulartität $u^*_g = m34d$
 $g^*_{reg} = 31$
 $g^*_{reg} = 40$



Schwarz—Separation leer

